

MAP SHEET SUMMARY / SOMMAIRE DES FEUILLETS

SHEET/FEUILLET	MAP/CARTE
1	Natural Air Absorbed Dose Rate Taux d'absorption naturel des rayons gamma dans l'air
2	Potassium
3	Uranium
4	Thorium
5	Uranium / Thorium
6	Uranium / Potassium
7	Thorium / Potassium
8	Ternary Radioelement Map Diagramme ternaire des radioéléments
9	Residual Total Magnetic Field Composante résiduelle du champ magnétique total
10	First Vertical Derivative of the Magnetic Field Dérivée première verticale du champ magnétique

TOPOGRAPHIC CONTOUR INTERVAL: 20 METRES / ÉCART DES COURBES TOPOGRAPHIQUES: 20 MÈTRES

This airborne geophysical survey and the production of this map were funded by the Geo-Mapping for Energy and Minerals (GEM) Program of the Earth Sciences Sector, Natural Resources Canada. / Ce levé géophysique aéroporté et la production de cette carte ont été financés par le programme «Géocartographie de l'énergie et des minéraux» (GEM) du Secteur des sciences de la Terre, Ressources naturelles Canada.

AIRBORNE GEOPHYSICAL SURVEY OF THE MIERTSCHING LAKE WEST AREA, NUNAVUT / LEVÉ GÉOPHYSIQUE AÉROPORTÉ DE LA PARTIE OUEST DE LA RÉGION DU LAC MIERTSCHING, NUNAVUT
Parts of NTS 46N, 46J, 46K, 46M, and 46-O / SNRC parties de 46N, 46J, 46K, 46M, et 46-O

URANIUM

Authors: Fortin, R., Coyle, M., Hefford, S.W., Carson, J.M., and Faulkner, E.L.
Data acquisition, compilation and map production by Terrapoint Ltd., Markham, Ontario.
Contact and project management by the Geological Survey of Canada, Ottawa, Ontario.

Scale 1 : 250 000 - Echelle 1 / 250 000

Map location: LOCALISATION DE LA CARTE

Vertical Transverse Mercator Projection / Projection transverse universelle de Mercator

Digital Topographic Data provided by Geomatics Canada, Natural Resources Canada / Données topographiques numériques de Géomatique Canada, Ressources naturelles Canada

Introduction
A gamma-ray spectrometric and aeromagnetic airborne geophysical survey of the Mertsching Lake West Area, Nunavut, was completed by Terrapoint Ltd. The survey was flown from 31st to September 7th, 2009 using a Piper PA-31 Navajo (C-0305). The nominal traverse and control line spacings were, respectively, 400 m and 2400 m, and the aircraft flew at a nominal terrain clearance of 125 m at an average airspeed of 275 km/h. Traverse lines were oriented N30°W with orthogonal control lines. The flight path was recovered following post-flight differential corrections to data recorded by a Global Positioning System. The survey was flown on a pre-determined flight surface to minimize differences in magnetic values at the intersections of control and traverse lines.

Un levé géophysique aéroporté de spectrométrie gamma et magnétique a été réalisé dans la partie ouest de la région du lac Mertsching au Nunavut par la société Terrapoint. Le levé a été effectué du 31 juillet au 7 septembre 2009, à bord d'un avion Piper PA-31 Navajo immatriculé C-0305. L'espacement nominal des lignes de vol était de 400 m et celui des lignes de contrôle de 2 400 m. L'altitude normale de vol était de 125 m au-dessus du sol et la vitesse moyenne enregistrée était de 275 km/h. Les lignes de vol étaient orientées à N30°W et les lignes de contrôle leur étaient perpendiculaires. La trajectoire de vol a été restituée par l'application après le vol de corrections différentielles aux données brutes enregistrées avec un récepteur GPS. Le levé a été effectué suivant une surface de vol prédéterminée afin de réduire le plus possible les différences de valeurs du champ magnétique aux intersections des lignes de contrôle et des lignes de levé.

Gamma-ray Spectrometric Data / Données de spectrométrie gamma
The airborne gamma-ray measurements were made with a Radiation Solutions RS-500 gamma-ray spectrometer using fourteen 102x102x406 mm NaI (TI) crystals. The main detector array consisted of twelve crystals (total volume 50.4 litres). Two crystals (total volume 8.4 litres), shielded by the main array, were used to detect variations in background radiation caused by atmospheric radon. The system assembled 1024 channel spectra from the individual NaI (TI) detectors with no loss of Poisson statistics. Spectrum stabilization is accomplished by matching the recorded spectra with several natural gamma-ray peaks.

Potassium is measured directly from the 1460 keV gamma-ray photons emitted by ⁴⁰K, whereas uranium and thorium are measured indirectly from gamma-ray photons emitted by daughter products (²¹⁴Pb for uranium and ²¹⁴Pb for thorium). Although these daughters are far down their respective decay chains, they are assumed to be in equilibrium with their parents; thus gamma-ray spectrometric measurements of uranium and thorium are referred to as equivalent uranium and equivalent thorium, i.e. eU and eTh. The energy windows used to measure potassium, uranium and thorium are, respectively, 1370-1570 keV, 1660-1860 keV, and 2410-2810 keV.

Gamma-ray spectra were recorded at one-second intervals. Data processing followed standard procedures as described in IAEA, 1991 and IAEA, 2003. During processing, the spectra were energy calibrated, and counts were accumulated into the windows described above. Counts from the radon detectors were recorded in a 1800-1950 keV window and radiation at energies greater than 3000 keV was recorded in the cosmic window. The window counts were corrected for dead time, background activity from cosmic radiation, radioactivity of the aircraft and atmospheric radon decay products. The window data were then corrected for spectral scattering in the ground, air and detector. Corrections for deviations from the planned terrain clearance and for variation of temperature and pressure were made prior to conversion to ground concentrations of potassium, uranium and thorium, using factors determined from flights over the Breckenridge test strip. The factors for potassium, uranium, and thorium were, respectively, 91.75 cps%, 13.53 cps/μg, and 5.30 cps/μg.

Corrected data were interpolated to a 100m grid interval. The results of an airborne gamma-ray spectrometer survey represent the average surface concentrations of the 3 natural radioelements, and are influenced by nature or overburden, presence of outcrops, vegetation cover, soil moisture and surface water. As a result the measured concentrations are usually lower than the actual bedrock concentrations.

Les mesures du rayonnement gamma ont été effectuées à l'aide d'un spectromètre gamma Radiation Solutions RS-500 utilisant quatorze cristaux de NaI (TI) de 102x102x406 mm. Le principal réseau de capteurs se composait de douze cristaux (volume total de 50,4 litres). Deux cristaux (volume total de 8,4 litres), protégés par le réseau principal, ont été utilisés pour détecter les variations du rayonnement naturel dues au radon atmosphérique. Ce système compilait à partir des réponses individuelles des cristaux de NaI(Tl) un spectre de 1024 canaux en respectant une distribution de Poisson. La calibration des spectres est réalisée en ajustant les spectres enregistrés selon plusieurs pics gamma naturels.

Le potassium est mesuré directement d'après les photons gamma de 1 460 keV émis par le ⁴⁰K, tandis que l'uranium et le thorium sont mesurés indirectement selon les photons gamma émis par des produits de fission (²¹⁴Pb pour l'uranium et ²¹⁴Pb pour le thorium). Bien que ces radioéléments de fission se trouvent loin dans leur chaîne respective de désintégration, on présume qu'ils sont en équilibre avec leur radioélément père; ainsi, les mesures spectrométriques du rayonnement gamma de l'uranium et du thorium sont désignées comme des équivalents d'uranium et des équivalents de thorium, soit eU et eTh. Les plages d'énergie utilisées pour mesurer le potassium, l'uranium et le thorium sont respectivement : de 1 370 à 1 570 keV, de 1 660 à 1 860 keV et de 2 410 à 2 810 keV.

Les spectres du rayonnement gamma ont été enregistrés à intervalle d'une seconde. Le traitement des données a suivi les procédures standards décrites dans IAEA, 1991 et IAEA, 2003. Pendant le traitement, les spectres ont été soumis à un étalonnage énergétique et les coups ont été cumulés dans les plages décrites ci-dessus. Les coups obtenus à l'aide des capteurs de radon ont été enregistrés dans la plage de 1 800 à 1 950 keV et le rayonnement à des énergies supérieures à 3 000 keV a été enregistré dans la plage du rayonnement cosmique. Les coups enregistrés dans les plages ont été corrigés pour leur temps mort, du rayonnement de fond dû au rayonnement cosmique, de la radioactivité de l'aéronef et des produits de désintégration du radon atmosphérique. Les données pour les plages ont ensuite été corrigées pour tenir compte de la diffusion spectrale dans le sol, l'air et les capteurs. Les corrections pour les écarts à la hauteur de vol prévue et les variations de température et de pression ont été effectuées avant la conversion en concentrations équivalentes au sol de potassium, d'uranium et de thorium, en utilisant des facteurs déterminés lors de vols effectués au-dessus de la bande d'étalonnage de Breckenridge. Les facteurs déterminés pour le potassium, l'uranium et le thorium étaient respectivement de 91,75 cps%, 13,53 cps/μg, et 5,30 cps/μg.

Les données corrigées ont été interpolées suivant une grille à maille de 100 m. Les résultats d'un levé aéroporté de spectrométrie gamma représentent les concentrations moyennes des 3 radioéléments naturels à la surface. Ces mesures sont influencées par la nature du sous-sol, la présence d'affreusement, la couverture végétale et l'eau de surface. Par conséquent, les concentrations mesurées sont habituellement plus faibles que les concentrations réelles dans le substratum rocheux.

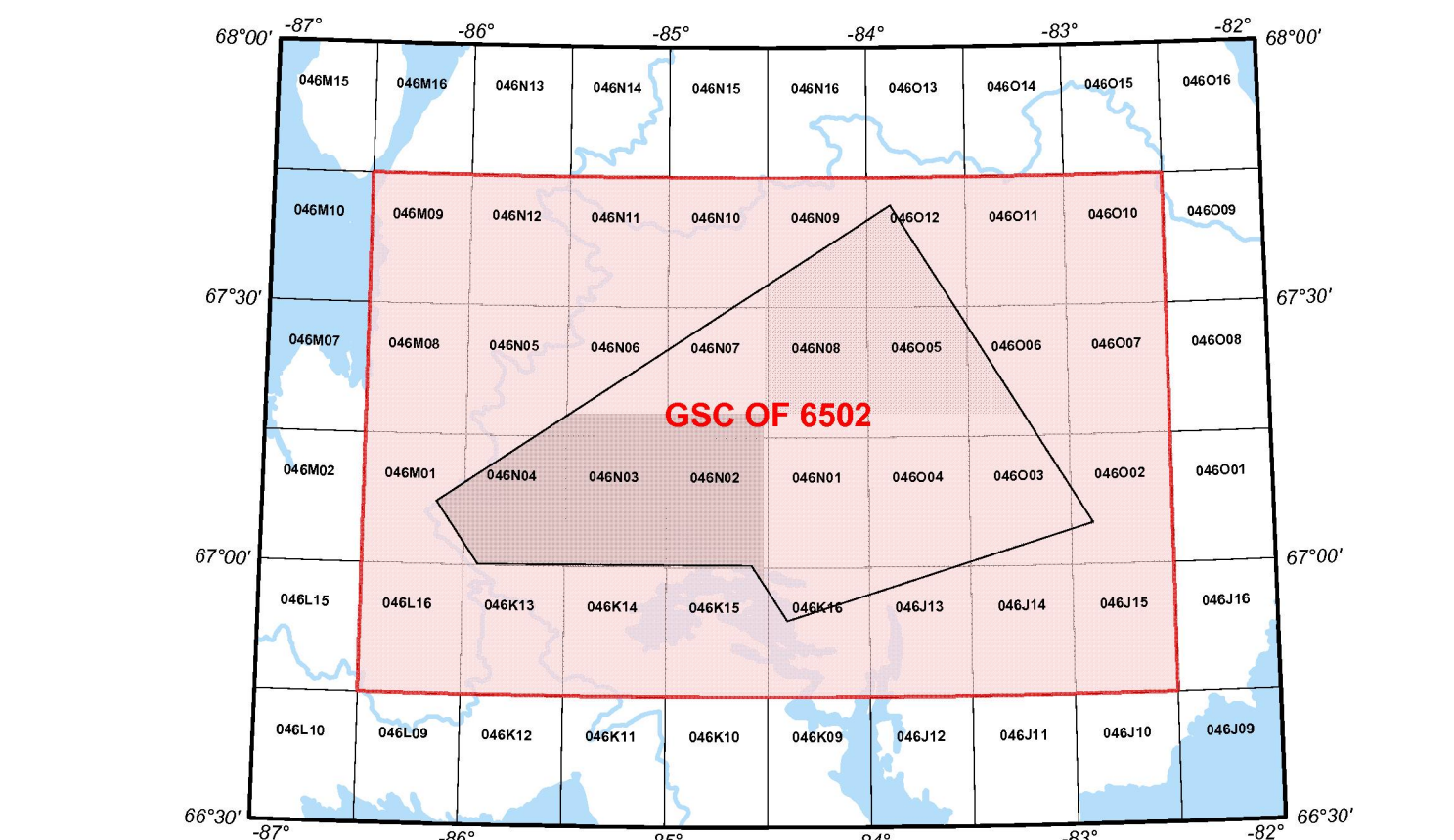
Magnetic Data / Données sur le champ magnétique
The magnetic field was sampled 10 times per second using a split-beam ocean vapour magnetometer (sensitivity = 0.005 nT) rigidly mounted to the aircraft. Differences in magnetic values at the intersections of control and traverse lines were analysed to obtain a mutually leveled set of flight-line magnetic data. The leveled values were then interpolated to a 100 m grid. The International Geomagnetic Reference Field (IGRF) defined at the average GPS altitude of 363 m for the year 2005.6 was then removed. Removal of the IGRF, representing the magnetic field of the Earth's core, produces a residual component related essentially to magnetizations within the Earth's crust.

The first vertical derivative of the magnetic field is the rate of change of the magnetic field in the vertical direction. Computation of the first derivative removes long wavelength features of the magnetic field and significantly improves the resolution of closely spaced and superposed anomalies. A property of first vertical derivative maps is the coincidence of the zero-value contour with residual contours of magnetic units at high magnetic latitudes (Hood, 1965).

Le champ magnétique a été échantillonné 10 fois par seconde à l'aide d'un magnétomètre à vapeur de césium à faisceau partagé (sensibilité = 0,005 nT) rigide monté à l'aéronef. Les différences de valeur du champ magnétique aux intersections des lignes de contrôle et des lignes de levé ont été analysées par ordinateur afin d'obtenir un ensemble de données sur le champ magnétique mutuellement nivelées sur les lignes de vol. Ces valeurs nivelées ont ensuite été interpolées suivant une grille à maille de 100 m. Le champ géomagnétique international de référence (International Geomagnetic Reference Field, IGRF) défini à l'altitude moyenne fournie par les données GPS de 363 m pour l'an 2005,6 a été soustrait. La soustraction de l'IGRF, qui représente le champ magnétique du noyau terrestre, résulte en une composante résiduelle essentiellement reliée à la magnétisation de l'écorce terrestre.

La dérivée première verticale du champ magnétique représente le taux de variation du champ magnétique suivant la verticale. Le calcul de la dérivée première verticale supprime les composantes de grande longueur d'onde du champ magnétique et améliore considérablement la résolution des anomalies rapprochées les unes des autres ou superposées. L'une des propriétés des cartes de la dérivée première verticale est la coïncidence de l'isogamme de valeur zéro et des contacts verticaux d'anomalies magnétiques aux hautes latitudes magnétiques (Hood, 1965).

References / Références
Hood, P.J. 1965. Gradient measurements in aeromagnetic surveying. Geophysics, 30,891-902.
International Atomic Energy Agency, 1991. Airborne gamma ray spectrometry surveying. Technical Reports Series 323, IAEA, Vienna.
International Atomic Energy Agency, 2003. Guide lines for radiobelement mapping using gamma ray spectrometry data. Technical Reports Series 363, IAEA.



NATIONAL TOPOGRAPHIC SYSTEM REFERENCE AND GEOPHYSICAL MAP INDEX / SYSTÈME DE RÉFÉRENCE CARTOGRAPHIQUE ET INDEX DES CARTES GÉOPHYSIQUES

AIRBORNE GEOPHYSICAL SURVEY OF THE MIERTSCHING LAKE WEST AREA, NUNAVUT / LEVÉ GÉOPHYSIQUE AÉROPORTÉ DE LA PARTIE OUEST DE LA RÉGION DU LAC MIERTSCHING, NUNAVUT

Recommended Citation:
Fortin, R., Coyle, M., Hefford, S.W., Carson, J.M., and Faulkner, E.L., 2011. Airborne Geophysical Survey of the Mertsching Lake West Area, Nunavut, Parts of NTS 46N, 46J, 46K, 46M, and 46-O. Geological Survey of Canada, Open File 6502, scale 1:250 000.

Notation bibliographique conseillée:
Levé géophysique aéroporté de la partie ouest de la région du lac Mertsching, Nunavut, SNRC parties de 46N, 46J, 46K, 46M, et 46-O. Commission géologique du Canada, Dossier public 6502, échelle 1:250 000.